

ЭФФЕКТЫ РАЗОГРЕВА НОСИТЕЛЕЙ ЗАРЯДА В ИНЖЕКЦИОННЫХ ГЕТЕРОЛАЗЕРАХ НА InGaAsP/InP

Пищалко В. Д., Толстыхин В. И.

Построена модель инжекционного гетеролазера (ИГЛ) с разогретыми носителями в InGaAsP, последовательно учитывающая все основные неравновесные процессы в его активной области. Получена замкнутая система скоростных уравнений ИГЛ, использующая четыре динамические переменные: эффективную температуру носителей, нормированные на нее квазиуровни Ферми электронов и дырок, эффективную плотность фотонов в лазерном резонаторе. Проведен численный расчет стационарного режима работы ИГЛ и обсуждены эффекты разогрева носителей.

Инжекционные гетеролазеры (ИГЛ) на основе твердых растворов InGaAs являются в настоящее время объектом интенсивных исследований [1, 2]. При этом наряду с совершенствованием их технологии, оптимизацией структуры и конструкции [3-7] значительный интерес вызывает изучение физических процессов, сопутствующих инжекции и стимулированной излучательной рекомбинации в ИГЛ на InGaAsP/InP, в частности разогрева носителей [8-10]. Его

причинами могут быть инжекция с гетеробарьеров [11, 12], оже-рекомбинация [13, 14] и внутризонное поглощение стимулированного излучения [1]. Измерение эффективной температуры носителей T_e по коротковолновым хвостам спектров фото- и электролюминесценции показывает, что для двой-

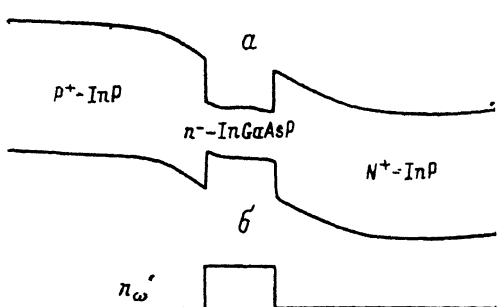


Рис. 1. Зонная диаграмма (а) и профили решеточного индекса рефракции (б) ДГС p^+ -InP/ n -InGaAsP/ N^+ -InP.

ных гетероструктур (ДГС) InGaAsP/InP как с классическими [8-10, 16, 17], так и с квантово-размерными [18] активными областями (АО) относительный перегрев, т. е. величина $(T_e - T_0)/T_0$, где T_0 — температура решетки, может составлять от нескольких десятков процентов при комнатной температуре T_0 до многих сотен процентов при криогенных температурах. Ясно, что столь значительный перегрев должен сказываться на характеристиках ИГЛ, чувствительных к температуре носителей в АО. Однако из литературы нам не известны какие-либо теоретические модели, последовательно учитывающие разогревные явления в лазерах на InGaAsP/InP. Цель настоящей работы как раз и состоит в построении и исследовании такой модели.

Здесь мы ограничиваемся рассмотрением простейшей по топологии классически-размерной трехслойной структуры (совместного ограничения) ИГЛ с однородной накачкой, имея в виду, что формулируемая модель разогрева носителей в АО справедлива и для пятислойной структуры (раздельного ограничения с различием лишь в постановке граничных условий вне АО, а допущение об однородности накачки хорошо выполняется, например, в лазерах с зарощенной меза-полоской [19]). Основой такого ИГЛ является ДГС P^+ -InP/(p^- , n^-)

InGaAsP/ N^+ -InP, зонная диаграмма которой изображена на рис. 1. При подаче прямого смещения узкозонная АО ($-d/2 \leq x \leq d/2$) заполняется неравновесными носителями, так что на пороге генерации концентрация образующейся электронно-дырочной плазмы (ЭДП) превышает 10^{18} см^{-3} . Высокая плотность ЭДП позволяет использовать при ее описании следующие допущения.

1) Неравновесные носители в АО термализованы, причем электроны и дырки имеют одинаковую эффективную температуру T_e , вообще говоря, отличную от температуры решетки T_0 , и функции распределения (ФР) f_c , f_v (здесь и далее индексы c и v означают принадлежность к c - и v -зонам в АО) вида

$$f_c(w_c) = [1 + \exp(w_c/T_e - \zeta_c)]^{-1}, \quad f_v(w_v) = [1 + \exp(w_v/T_e - \zeta_v)]^{-1}, \quad (1)$$

где w_c, v — кинетические энергии, а ζ_c, v — квазиуровни Ферми, отсчитываемые от краев зон и нормируемые на T_e (температура всюду измеряется в энергетических единицах).

2) АО квазинейтральна, а распределение по ней параметров ЭДП, т. е. T_e, ζ_c, ζ_v , пространственно однородно.

Первое из сформулированных допущений требует выполнения следующих предельных соотношений между временами энергетической релаксации электронов и дырок на фонах τ_{wc} , τ_{vv} и частотами межэлектронных, междырочных и неупругих (с передачей энергии) электрон-дырочных столкновений соответственно ν_{cc} , ν_{vv} , ν_{cv} :^[20]

$$\tau_{wc}^{-1}, \tau_{vv}^{-1} \ll \nu_{cv} \sim \nu_{vv} (m_c/m_v)^{1/2} < \nu_{vv} < \nu_{cc} \sim \nu_{vv} (m_v/m_c)^{1/2}, \quad (2)$$

где m_c, m_v — эффективные массы в c - и v -зонах, причем $m_c < m_v$. Оценивая частоту ν_{vv} по формуле $\nu_{vv} \sim (8\sqrt{\pi}e^4 N_e Z)/(3\chi_A^2 \sqrt{2m_v} T_e^3)$, в которой e — заряд электрона, N_e — концентрация ЭДП, χ_A — диэлектрическая постоянная в АО, Z — фактор, учитывающий экранировку, получим¹ для $N_e \sim 2 \cdot 10^{18} \text{ см}^{-3}$ и $T_e \sim T \sim 300 \text{ К}$; $\nu_{vv} \sim 10^{13}$, $\nu_{cc} \sim 3 \cdot 10^{13}$ и $\nu_{cv} \sim 3 \cdot 10^{12} \text{ с}^{-1}$, тогда как измеряемые экспериментально^[22] энергетические времена релаксации τ_{vv} и τ_{wc} составляют не менее $\sim 10^{-12} \text{ с}$, т. е. условие применимости допущения о термализации ЭДП можно считать выполненным. Второе из сделанных допущений требует выполнения неравенств^[20]

$$l_s \ll d \ll l_T, l_D, \quad (3)$$

в которых l_s , l_T и l_D — соответственно длины экранирования, теплопроводности и диффузии. Оценивая их по формулам $l_s \sim \sqrt{\chi_A T_e / 4\pi e^2 N_e}$, $l_T \sim \sqrt{\chi \tau_{vv}}$, $l_D \sim \sqrt{D \tau}$, где $\chi \sim 100 \text{ см}^2/\text{с}$ и $D \sim 40 \text{ см}^2/\text{с}$ — коэффициенты теплопроводности и амбиполярной диффузии, $\tau \sim 10^{-9}$ и $\tau \sim 10^{-12} \text{ с}$ — времена жизни и релаксации энергии, получим при $N_e \sim 2 \cdot 10^{18} \text{ см}^{-3}$ и $T_e \sim T_0 \sim 300 \text{ К}$ $l_s \approx 0.03$, $l_T \approx 0.1$ и $l_D \approx 2 \text{ мкм}$. Это означает, что для типичных толщин $d \leq 0.1 \text{ мкм}$ при отсутствии эффективных каналов поверхностных рекомбинации и релаксации энергии на гетеропереходах АО можно считать квазинейтральной, а параметры ЭДП в ней — однородными (концентрацию с большой точностью, а температуру с некоторой погрешностью).

Таким образом, задача описания ЭДП в АО сводится к балансным уравнениям для ее концентрации N_e и плотности энергии W_e , определяемых в приближении параболических зон соотношениями

$$N_e = N_c(T_e) \mathcal{F}_{1/2}(\zeta_c) = N_v(T_e) \mathcal{F}_{1/2}(\zeta_v), \quad (4)$$

$$W_e = (\gamma/2) T_e [N_c(T_e) \mathcal{F}_{3/2}(\zeta_c) + N_v(T_e) \mathcal{F}_{3/2}(\zeta_v)], \quad (5)$$

в которых N_c, v — зависящие от эффективной температуры плотности состояний в c - и v -зонах, $\mathcal{F}_\alpha(\zeta)$ — фермиевский интеграл порядка α . Они должны рассматриваться совместно с кинетическим уравнением для излучения в лазерном резонаторе. Здесь мы ограничиваемся одночастотным и одномодовым прибли-

¹ Все используемые здесь и далее численные значения параметров InGaAsP заимствованы из [4, 21].

жениями [19, 21], в рамках которых оно сводится к балансному же уравнению для эффективной концентрации фотонов N_ω , данных частоты ϕ и моды, определяемой равенством

$$N_\omega = \frac{1}{d\hbar\omega v_\omega} \int_{+\infty}^{-\infty} dx I_\omega(x), \quad (6)$$

где v_ω и $I_\omega(x)$ — групповая скорость и распределение интенсивности возбужденной поперечной моды. В результате получаем систему скоростных уравнений ИГЛ с разогретыми носителями

$$dN_e/dt = (1 - \gamma) J/e d - R_{sp} - R_A - g_{cv} v_\omega N_\omega, \quad (7)$$

$$dW_e/dt = Q/d - \mathcal{P}_{ph} - \mathcal{P}_{sp} + \mathcal{P}_A + \nu v_\omega N_\omega, \quad (8)$$

$$dN_\omega/dt = \beta_{sp} R_{sp} - (\alpha_c + \alpha_v + \alpha_p - g_{cv}) v_\omega N_\omega, \quad (9)$$

где J — плотность тока накачки, определяемого как сумма электронного и дырочного токов на каждом из гетеропереходов; γ — коэффициент инжекции, т. е. отношение плотности тока утечки J_i , определяемого как сумма токов неосновных носителей на границах широкозонных контактных P^+ - и N^+ -областей (КО) к току накачки: $\gamma = J_i/J$; Q — плотность потока энергии неравновесных носителей, втекающего в АО из КО; R_{sp} , R_A и \mathcal{P}_{sp} , \mathcal{P}_A — темпы спонтанной излучательной рекомбинации, оже-рекомбинации и темпы изменения плотность энергии ЭДП в результате этих процессов; ν — фактор, учитывающий изменение энергии ЭДП вследствие процессов генерации и поглощения стимулированного излучения; \mathcal{P}_{ph} — темп релаксации энергии ЭДП, обусловленный неупругим взаимодействием электронов и дырок с фононами; β_{sp} — фактор спонтанной эмиссии возбуждаемой моды; $\alpha_c, \alpha_v = \sum_{j=h, l} (\alpha_{v,jj} + \alpha_{v,js})$ и g_{cv} — модовые коэффициенты затухания и усиления, обусловленные соответственно внутризонными (для электронов), внутриподзонными или межподзонными [для дырок, здесь и далее суммирование ведется по подзонам тяжелых (h) и легких (l) дырок] и межзонными излучательными переходами в АО; α_0 — модовый коэффициент затухания, связанный с радиационными потерями и поглощением в КО, который в дальнейшем будем считать заданной константой.

Явный вид ФР (1) позволяет найти все фигурирующие в (7)–(9) кинетические и оптические характеристики ЭДП в зависимости от ее параметров, т. е. от величин T_e, ζ_c, ζ_v . Для этого мы здесь используем обычные матричные элементы взаимодействия электронов, фононов, фотонов и четырехзонную модель Кейна для зонной структуры InGaAsP [20, 23], уже в рамках которой пренебрегаем непарabolicностью спектров электронов и дырок. Не учитываем также «хвостов» плотностей состояний в запрещенной зоне, не существенных в ИГЛ со слабо легированной АО.

Тогда темп спонтанной излучательной рекомбинации определяется выражением

$$R_{sp} = B_{cv} \sum_{j=h, l} \left(\frac{\mu_j}{\sqrt{m_c m_{v,j}}} \right)^{3/2} N_c(T_e) N_{v,j}(T_e) \times \\ \times \frac{2}{\sqrt{\pi}} \int_0^\infty \frac{u^{1/2} du}{[1 + \exp(\sqrt{m_{v,j}/m_c} u - \zeta_c)][1 + \exp(\sqrt{m_c/m_{v,j}} u - \zeta_v)]}, \quad (10)$$

где $B_{cv} \sim 10^{-10}$ см³/с — характерная постоянная, пропорциональная вероятности прямых излучательных переходов между экстремумами c - и v -зон; $\mu_j = (m_c^{-1} + m_{v,j}^{-1})$ — приведенная масса электрон-дырочной пары. При снятии вырождения ($\zeta_c, \zeta_v \leq -5$) (10) переходит в обычную формулу $R_{sp} = B_{sp} N_e^2$.

Оже-рекомбинация в твердых растворах InGaAsP включает большое количество процессов, среди которых при работе ИГЛ наиболее важными являются бесфононные $CHCC$ - и $CHHS$ -процессы [23–26]. Для темпа каждого из них можно приблизительно записать [24, 25]

$$R_{CHCC} \simeq C_{CHCC} N_e^2 N_c(T_e) \left(\frac{T_e}{T_0} \right)^{-1/2} \left[1 + \exp \left(\frac{\epsilon_{CHCC}}{T_e} - \zeta_e \right) \right]^{-1} \frac{\mathcal{F}_{\zeta_e}(\zeta_e)}{\mathcal{F}_{\zeta_v}(\zeta_v)}, \quad (11)$$

$$R_{CHHS} \simeq C_{CHHS} N_e N_v^2(T_e) \left(\frac{T_e}{T_0} \right)^{1/2} \left[1 + \exp \left(\frac{\epsilon_{CHHS}}{2T_e} - \zeta_v \right) \right]^{-2} \times \\ \times \frac{1}{\mathcal{F}_{\zeta_v}(\zeta_v)} \frac{4}{3\sqrt{\pi}} \int_0^\infty \left[(u+b) \frac{\operatorname{Sh} \sqrt{au}}{\sqrt{a}} - \sqrt{ab} \operatorname{Ch} \sqrt{au} \right] \frac{du}{1 + \exp(u - \zeta_v)}. \quad (12)$$

Здесь C_{CHCC} и C_{CHHS} — константы процессов, значения которых зависят от состава твердого раствора InGaAsP [27]; ϵ_{CHCC} и ϵ_{CHHS} — энергии активации, оценка которых [24, 25] дает соответственно $\sim 0.088 \pm 0.060$ и 0.058 ± 0.040 эВ ($\lambda = 1.30 \pm 1.55$ мкм); a и b — зависящие от эффективной температуры безразмерные параметры $a(T_e) = (2m_e/m_{vh})(\epsilon_{CHHS}/T_e)$ и $b(T_e) = (3T_e/\epsilon_{CHHS} - 1)/(2m_e/m_{vh})$. Темп оже-рекомбинации равен суммарному темпу $CHCC$ - и $CHHS$ -процессов, т. е. $R_i = R_{CHCC} + R_{CHHS}$.

Вклад излучательной и оже-рекомбинаций в темп изменения плотности энергии ЭДП [см. уравнение (8)] определяется соотношениями

$$R_{sp} = (3/2) T_e B_{cv} \sum_{j=h, l} \left(\frac{\mu_j}{\sqrt{m_e m_{vj}}} \right)^{3/2} N_c(T_e) N_{vj}(T_e) \times \\ \times \frac{4}{3\sqrt{\pi}} \int_0^\infty \frac{u^{3/2} du}{[1 + \exp(\sqrt{m_{vj}/m_e} u - \zeta_e)][1 + \exp(\sqrt{m_e/m_{vj}} u - \zeta_v)]}, \quad (13)$$

$$\mathcal{P}_A = \epsilon_G R_{CHCC} + (\epsilon_G - \Delta_s) R_{CHHS}, \quad (14)$$

$$\nu = \hbar\omega \left(\alpha_e + \sum_{j=h, l} \alpha_{v, jj} \right) + (\hbar\omega - \Delta_s) \sum_{j=h, l} \alpha_{v, jj} - (\hbar\omega - \epsilon_G) g_{cv}, \quad (15)$$

в которых $\Delta_s \sim 0.25 \pm 0.31$ эВ — энергия спинового расщепления в валентной зоне.

Темп релаксации энергии неравновесных носителей, например дырок, $\mathcal{P}_{ph, e}$, при учете основных каналов неупругого решеточного рассеяния на деформационных акустических и оптических, а также поляризационных оптических фононах [20–22] для произвольных уровней вырождения и разогрева может быть представлен в виде

$$\mathcal{P}_{ph, e} = (3/2) T_e \sum_{j=h, l} N_{vj}(T_e) \left\{ \gamma_{D, 1}^{vj} \left(\frac{T_e}{T_0} \right)^{1/2} \left(1 - \frac{T_0}{T_e} \right) \mathcal{F}_1(\zeta_e) + \left(\frac{\hbar\Omega}{2T_e} \right)^{3/2} \frac{\operatorname{Sh} \left(\frac{\hbar\Omega}{2T_0} - \frac{\hbar\Omega}{2T_e} \right)}{\operatorname{Sh} \left(\frac{\hbar\Omega}{2T_0} \right)} \times \right. \\ \left. \times \exp(-\zeta_v) \int_1^\infty \frac{\exp \left(\frac{\hbar\Omega}{2T_e} u \right) [\gamma_{D, 0}^{vj} \sqrt{u^2 - 1} + \gamma_{P, 0}^{vj} \ln(u + \sqrt{u^2 - 1})] du}{[1 + \exp \left(\frac{\hbar\Omega}{2T_e} (u - 1) - \zeta_v \right)][1 + \exp \left(\frac{\hbar\Omega}{2T_e} (u + 1) - \zeta_v \right)]} \right\}. \quad (16)$$

Здесь $\hbar\Omega$ — усредненная по типам колебаний энергия оптического фона, $\gamma_{D, 1}^{vj}$, $\gamma_{D, 0}^{vj}$, $\gamma_{P, 0}^{vj}$ — характерные частоты неупругих процессов с участием дырок j -подзоны и DA -, DO -, PO -фононов. Аналогичным же выражением (но без слагаемого, соответствующего DO -рассеянию [23]) определяется и темп релаксации энергии электронов Г-долины $\mathcal{P}_{ph, e}$. Фигурирующая в (8) величина \mathcal{P}_{ph} равна сумме парциальных темпов релаксации, т. е. $\mathcal{P}_{ph} = \mathcal{P}_{ph, e} + \mathcal{P}_{ph, c}$.

Коэффициент усиления g_{cv} , обусловленный прямыми межзонными переходами, в рамках используемых приближений равен

$$g_{cv} = \alpha_{cv} \left[\frac{\epsilon_G}{\hbar\omega} \left(1 - \frac{\epsilon_G}{\hbar\omega} \right)^{1/2} \frac{n_{\omega}\omega}{c\beta_\omega} \Gamma_\omega \left[1 - \exp \left(\frac{\hbar\omega - \epsilon_G}{T_e} - \zeta_e - \zeta_v \right) \right] \right] \times$$

$$\times \sum_{j=h, l} \frac{(\mu_j/\mu)^{3/2}}{\left[1 + \exp\left(\frac{\mu_j(\hbar\omega - \epsilon_G)}{m_c T_e} - \zeta_c\right)\right] \left[1 + \exp\left(\frac{\mu_j}{m_{v,j}} \frac{\hbar\omega - \epsilon_G}{T_e} - \zeta_v\right)\right]} , \quad (17)$$

где $\alpha_{cv} \sim 10^4 - 10^5 \text{ см}^{-1}$ — характерная постоянная [23], n_ω — решеточный индекс рефракции на частоте ω , c — скорость света, β_ω и Γ_ω — постоянная распространения и фактор оптического ограничения возбуждаемой моды [21], $\mu = \left[\sum_{j=h, l} \mu_j^{3/2} \right]^{1/3}$.

Из всех внутризонных процессов поглощения стимулированного излучения в АО ИГЛ на InGaAsP наиболее важными являются излучательные переходы между подзонами тяжелых (легких) дырок и спин-отщепленной подзоной [1]. Такой механизм является прямым и схож с межзонным, поэтому соответствующий вклад в АО в постоянную затухания возбужденной моды аналогичен (17) и имеет вид

$$\alpha_s = \alpha_s \left[\frac{\Delta_s}{\hbar\omega} \left(1 - \frac{\Delta_s}{\hbar\omega} \right) \right]^{1/2} \frac{n_\omega \omega}{c \beta_\omega} \Gamma_\omega \exp(-\zeta_v) \times \\ \times \sum_{j=h, l} \frac{\left(\mu_j/\mu \right)^{3/2} \left[\exp\left(\frac{\mu_j}{m_{v,j}} \frac{\hbar\omega - \Delta_s}{T_e} + \frac{\Delta_s}{T_e} \right) - \exp\left(\frac{\mu_j}{m_{v,j}} \frac{\hbar\omega - \Delta_s}{T_e} \right) \right]}{\left[1 + \exp\left(\frac{\mu_j}{m_{v,j}} \frac{\hbar\omega - \Delta_s}{T_e} + \frac{\Delta_s}{T_e} - \zeta_v \right) \right] \left[1 + \exp\left(\frac{\mu_j}{m_{v,j}} \frac{\hbar\omega - \Delta_s}{T_e} - \zeta_v \right) \right]} , \quad (18)$$

где $\alpha_s = 600 \div 1000 \text{ см}^{-1}$ [9, 15] — характерная постоянная, m_s — эффективная масса в спин-отщепленной зоне, $\mu_j = (m_{vs} m_{vj}) / |m_{vs} - m_{vj}|$, $\mu = \left[\sum_{j=h, l} \mu_j^{3/2} \right]^{1/3}$. Что же касается внутриподзонных излучательных переходов в валентной зоне и внутризональных в зоне проводимости, то они не являются прямыми и должны сопровождаться рассеянием на фононе или примеси [23]. Для слабо легированной АО при $T_0 \sim 300 \text{ К}$ достаточно ограничиться учетом рассеяния носителей на полярных оптических фононах, электронный, например, вклад от которого во внутризонное поглощение равен

$$\alpha_e = \frac{\gamma_p Q^{1/2} \omega_{pl}^2 n_\omega \omega}{\omega^{5/2} c \beta_\omega} \Gamma_\omega \frac{C_{lh} \left(\frac{\hbar\Omega}{2T_e} \right)}{\mathcal{F}_{1/2}(\zeta_c)} \left(\frac{T_e}{\pi \hbar \omega} \right)^{1/2} \times \\ \times \int_0^\infty du \ln \left\{ \frac{1 + \exp\left[\zeta_c + \frac{\hbar\omega}{2T_e} - \frac{1}{2} \left(u + \frac{\hbar^2 \omega^2}{4T_e^2 u} \right) \right]}{1 + \exp\left[\zeta_c - \frac{\hbar\omega}{2T_e} - \frac{1}{2} \left(u + \frac{\hbar^2 \omega^2}{4T_e^2 u} \right) \right]} \right\} . \quad (19)$$

Здесь γ_p — введенная ранее [см. (16)] характеристическая частота РО-рассеяния, $\omega_{pl} = (\epsilon_r e^2 N_e / \epsilon_0 m_e)^{1/2}$ — плазменная частота. Аналогичным же образом определяется и дырочный вклад. Поглощение на свободных носителях в легированных КО не зависит от параметров ЭДП в АО и может быть аддитивно учтено в константе α_0 .

Балансные уравнения для носителей (7), (8) содержат также и величины, определение которых требует выхода за пределы АО, а именно: плотность тока накачки J , коэффициент инъекции γ и плотность потока энергии Q . Так как ИГЛ является прибором, управляемым током, величину J можно считать заданной и рассматривать как параметр задачи. При определении величины γ следует учесть, что в правильно спроектированной структуре ток утечки заметно меньше тока накачки, т. е. $\gamma \ll 1$, в связи с чем для расчета коэффициента инъекции может использоваться развитая ранее в работе [28] итерационная процедура, в рамках которой параметры ЭДП в АО находятся при $\gamma=0$, а уже по ним вычисляется ток утечки. Что же касается величины Q , то ее определение существенно зависит от модели теплового контакта между носителями в АО и КО. Ограничивааясь рассмотрением разогрева носителей только в АО,

здесь можно выделить следующие два предельных случая: во-первых, полное отсутствие теплового контакта через гетеропереходы и прилегающие к ним обедненные области широкозонных слоев, когда поток тепла Q обусловлен только переносом через поверхности разрыва зон (рис. 1):

$$Q = \frac{J}{e} (\Delta\epsilon_c + \Delta\epsilon_v), \quad (20)$$

во-вторых, наличие теплового контакта, но при условии равновесности основных носителей в КО. Поскольку реально такой случай соответствует сильному легированию КО, то, полагая, что перенос через гетеропереходы и области пространственного заряда вблизи них обусловлен термоэмиссией, и используя тот же подход, что и при формулировке граничных условий на контактах в монополярных структурах с горячими носителями [29, 30], для величины Q получим

$$Q = \frac{J}{e} (\Delta\epsilon_c + \Delta\epsilon_v + 4T_0) - \frac{2}{e} \left[A_c T_e^2 \exp\left(\zeta_c - \frac{\Delta\epsilon_c}{T_e}\right) + A_v T_e^2 \exp\left(\zeta_v - \frac{\Delta\epsilon_v}{T_e}\right) \right] (T_e - T_0), \quad (21)$$

где $A_{c,v}$ — постоянные Ричардсона для c - и v -зон АО.

В результате все фигурирующие в правых частях (7)–(9) величины, так же как и плотность частиц и энергии в левых частях (7), (8), оказываются выражеными явным образом через три параметра ЭДП в АО: ζ_c , ζ_v и T_e . Таким образом, (7)–(9) [совместно с условием квазинейтральности (4)] составляют замкнутую систему скоростных уравнений ИГЛ с разогретыми носителями. Здесь мы ограничиваемся исследованием только стационарных решений этой системы, т. е. рассматриваем статические мощностные характеристики ИГЛ в режиме заданного тока. В этом случае основные, на наш взгляд, эффекты разогрева носителей сводятся к следующему.

Во-первых, поскольку коэффициент межзонного усиления g_{cv} , для излучения с энергией квантов $\hbar\omega$ оценивается соотношением

$$g_{cv} \sim \left\{ f_c \left[\frac{m_{vh}}{m_c + m_{vh}} (\hbar\omega - \epsilon_c) \right] + f_v \left[\frac{m_c}{m_c + m_{vh}} (\hbar\omega - \epsilon_c) \right] - 1 \right\},$$

может компенсировать потери в лазерном резонаторе лишь при определенном уровне вырождения носителей, ясно, что всякое снижение вырождения, т. е. уменьшение значений ФР f_c и f_v в состояниях, между которыми осуществляются излучательные переходы, будет затруднять достижение порога генерации. Разогрев, в особенности обусловленный оже-рекомбинацией, подавляет вырождение, так что при определенных обстоятельствах [31] рост возбуждения не увеличивает, а уменьшает инверсию заселенностей состояний в c - и v -зонах. Для лазерных резонаторов с малой добротностью это приводит к ситуации, в которой достижение генерации требует такого уровня возбуждения, который вследствие оже-разогрева не может быть получен ни при каких плотностях тока накачки. Во-вторых, рост эффективной температуры носителей увеличивает высокоэнергетические хвосты ФР и, следовательно, усиливает такие активационные процессы, как обусловленная термоэмиссией утечка через гетеропереходы [28], оже-рекомбинация [13] и межподзонное поглощение стимулированного излучения дырками [32], темпы которых оцениваются соотношениями

$$J_{I(c,v)} \sim \exp\left(-\frac{\Delta\epsilon_c}{T_e}\right), \quad R_{CHCC} \sim \exp\left(-\frac{\epsilon_{CHCC}}{T_e}\right),$$

$$R_{CHHS} \sim \exp\left(-\frac{\epsilon_{CHHS}}{T_e}\right), \quad \alpha_v \sim \exp\left(-\frac{m_{vs}}{m_{vh} - m_{vs}} \frac{(\hbar\omega - \Delta_s)}{T_e}\right).$$

Все перечисленные процессы снижают квантовую эффективность, что приводит, с одной стороны, к увеличению пороговой плотности тока и ее чувствительности к величине эффективной температуры носителей, а с другой — к сублинейности, насыщению и даже срыву ваттамперной характеристики за порогом генерации.

Эти качественные соображения вполне подтверждаются результатами численного расчета стационарного режима работы ИГЛ с разогретыми носите-

лями на основе сформулированной выше модели. На рис. 2—5 приводятся полученные нами зависимости перегрева ЭДП ($T_e - T_0$), суммы нормированных квазиуровней Ферми ($\zeta_c + \zeta_p$) и эффективной плотности фотонов N_ω от плотно-

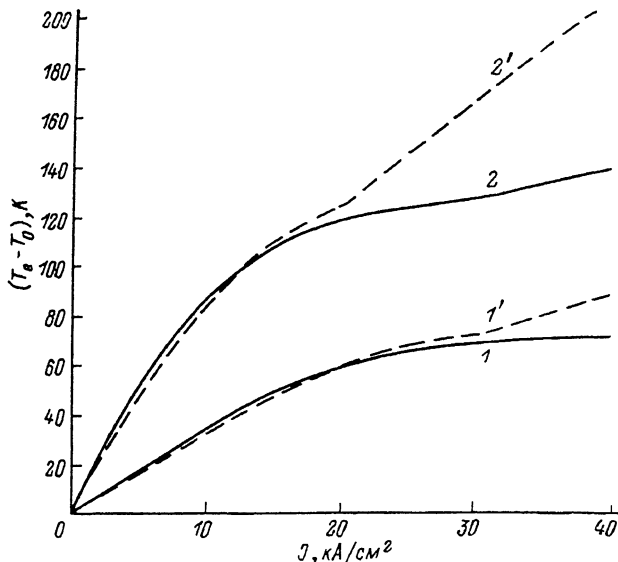


Рис. 2. Зависимость величины перегрева ЭДП ($T_e - T_0$) от плотности тока накачки J и составов InGaAsP, соответствующих различным λ .

λ , мкм: 1, 1' — 1.30; 2, 2' — 1.55.

сти тока накачки J для двух моделей теплового контакта между носителями в АО и КО, а именно: в отсутствие теплового контакта, когда поток тепла Q определяется выражением (20) (штриховые линии), и при наличии теплового

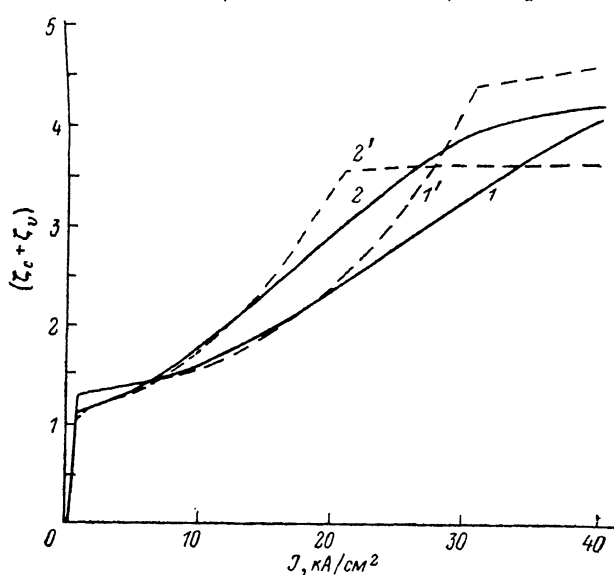


Рис. 3. Зависимость суммы нормированных квазиуровней Ферми ($\zeta_c + \zeta_p$) от плотности тока накачки J и составов InGaAsP, соответствующих $\lambda = 1.30$ (1, 1'), 1.55 мкм (2, 2').

контакта в предположении о равновесности носителей в КО, когда величина Q определяется выражением (21) (сплошные линии). Рассматриваются две отличающиеся по составу твердого раствора InGaAsP в АО структуры, соответствующие наиболее важным в практическом отношении спектральным диапазонам

$\lambda=1.30$ и $\lambda=1.55$ мкм. Во всех случаях толщина АО берется равной 0.1 мкм (при уровнях легирования АО 10^{16} см⁻³ и обеих КО $2 \cdot 10^{18}$ см⁻³), температура решетки $T_0=300$ К, постоянная α_0 принимается равной 20 см⁻¹ (за исключе-

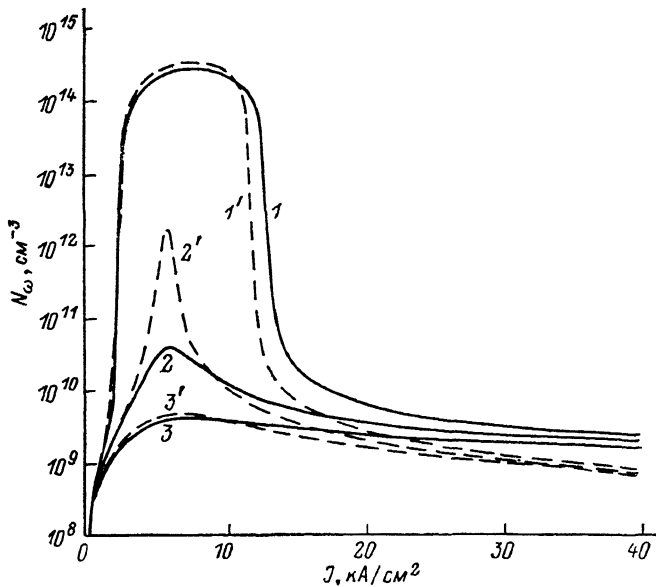


Рис. 4. Зависимость эффективной плотности фотонов N_ω от плотности тока накачки J для состава InGaAsP с $\lambda=1.55$ мкм и значений константы α_0 .

α_0 , см⁻¹: 1, 1' — 50; 2, 2' — 60; 3, 3' — 70.

ием вариантов расчета, представленных на рис. 4). Сильное легирование КО и большая высота гетеробарьеров ($\Delta\epsilon_c=0.16$ и 0.22 эВ; $\Delta\epsilon_i=0.24$ и 0.33 эВ для составов, соответствующих $\lambda=1.30$ и 1.55 мкм [4]) обеспечивают незначи-

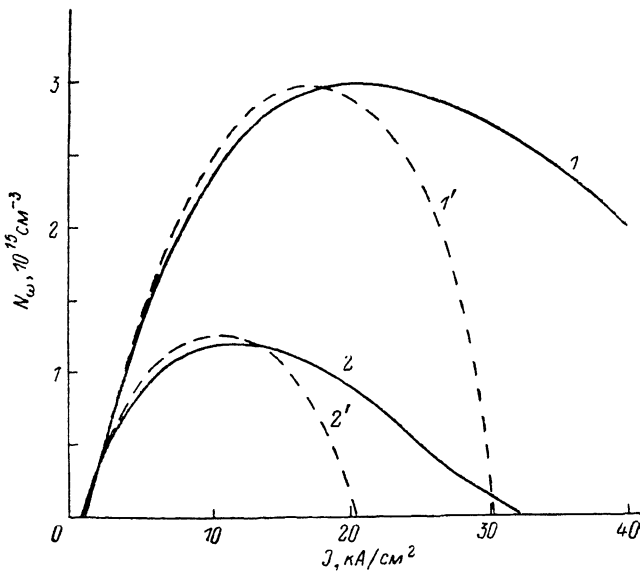


Рис. 5. Зависимость эффективной плотности фотонов N_ω от плотности тока накачки J для двух составов твердого раствора при значении константы $\alpha_0=20$ см⁻¹.

λ , мкм: 1, 1' — 1.30; 2, 2' — 1.55.

тельность токов утечки [28]. В исследовавшихся нами вариантах расчета величина коэффициента $\gamma=J_l/J$ не превышала нескольких процентов даже для плотностей тока, в десятки раз превосходящих пороговое значение $J=J_{th}$, по этой

причине зависимости $\gamma(J)$ (монотонно растущие) и не представляются на рисунках.

Зависимость величины перегрева ЭДП от плотности тока (рис. 2) описывается плавной кривой вплоть до значений J порядка десятка $J_{th} \sim 1 \text{ кА/см}^2$ и не имеет особенностей вблизи порога генерации, что свидетельствует о незначительности вклада внутризонных излучательных переходов в величину разогрева носителей. Таким образом, основными причинами разогрева являются инжекция с гетеробарьеров и оже-рекомбинация. Естественным представляется тот факт, что перегрев ЭДП при отсутствии теплового контакта между носителями АО и КО выше, чем при его наличии, тем более что выпуск тепла из АО вследствие термоэмиссии через гетеробарьеры экспоненциально растет с увеличением T_e [см. формулу (21)]. Заметим при этом, что выражения (20), (21) для теплового потока Q описывают по существу предельные частные случаи, соответствующие максимальному и минимальному возможным температурам ЭДП в АО. Экспериментально наблюдаемые значения T_e [$^{8-10}$] находятся где-то между ними. Менее тривиальным представляется заметное различие в уровнях разогрева между структурами, соответствующими $\lambda=1.30$ и 1.55 мкм . Этот эффект, достаточно подробно обсуждавшийся в литературе [$^{33, 22}$], связан как с увеличением темпа оже-рекомбинации, так и с уменьшением темпа релаксации энергии на PO -фононах при переходе к более узкозонному составу $InGaAsP$. Для любого, однако, состава твердого раствора и любой модели теплового контакта зависимость $(T_e - T_0)$ от J близка к линейной в некотором интервале $J \leq 10-20 \text{ кА/см}^2$. Это объясняется тем, что здесь из возможных механизмов рекомбинации доминирует оже-рекомбинация и темп ввода энергии в ЭДП примерно пропорционален J , тогда как при относительно небольшом перегреве ЭДП темп релаксации энергии \mathcal{P}_{th} в первом приближении пропорционален $(T_e - T_0)$. При дальнейшем росте J на зависимости $(T_e - T_0)$ от J проявляются насыщение, обусловленное ростом стимулированной излучательной рекомбинации, и излом, связанный со срывом генерации (рис. 5), в результате этого опять доминирует оже-рекомбинация.

Сумма нормированных квазиуровней Ферми (рис. 3) характеризует уровень инверсии в АО. В отсутствие разогрева зависимость этой величины от J должна насыщаться по достижении пороговой плотности тока [19]. Разогрев же ЭДП приводит к росту $(\zeta_c + \zeta_b)$ и коэффициента усиления g_{cb} за порогом генерации, что связано с необходимостью (в стационарных условиях) компенсации экспоненциально возрастающего по мере увеличения T_e межподзонного поглощения на дырках. Из-за большой энергии активации этого процесса (0.25 и 0.17 эВ для составов, соответствующих $\lambda=1.30$ и 1.55 мкм [4]) рост межподзонного поглощения по мере разогрева дырок происходит быстрее, чем может увеличиться межзонное усиление, в результате чего в конце концов и происходит срыв генерации [изломы на зависимостях $(\zeta_c + \zeta_b)$ от J при $J \geq 10-20 \text{ кА/см}^2$].

Рассчитанные ваттамперные характеристики, т. е. зависимости эффективной плотности фотонов N_ω от J (рис. 4, 5), в полной мере отражают влияние описанных выше эффектов разогрева носителей на излучательную способность ИГЛ. При малой добротности резонатора ($\alpha_0 \geq 70 \text{ см}^{-1}$ для состава, соответствующего $\lambda=1.55 \text{ мкм}$) достижение порога генерации требует такого уровня инверсии, который принципиально не может быть получен вследствие подавления вырождения носителей оже-разогревом (рис. 4). При достаточно высокой добротности резонатора (рис. 5) разогрев ЭДП приводит к сублинейности ваттамперной характеристики за порогом генерации в интервале $J \leq 10-20 \text{ кА/см}^2$ и тем большей, чем выше его уровень, что и соответствует известным экспериментальным данным [$^{8-10}$]. Наличие же падающего участка на ваттамперной характеристике и срыва генерации при $J > 10-20 \text{ кА/см}^2$ может служить причиной различных нестабильностей стационарного режима, наблюдавшихся в ИГЛ на $InGaAsP$. Их исследование, однако, требует анализа динамических характеристик ИГЛ с разогретыми носителями, что выходит за рамки данной работы и будет рассмотрено отдельно.

В заключение авторы благодарят В. И. Рыжия за полезное обсуждение результатов работы.

Список литературы

- [1] Сузамацу Я. // ТИИЭР. 1983. Т. 71. В. 6. С. 5—37.
- [2] Digest of 11 IEEE Int. Semicond. laser conf. Boston, 1988. 456 с.
- [3] Барышев В. И., Голькова Е. Г., Дураев В. П. и др. // Квант. электрон. 1989. Т. 15. В. 11. С. 2196—2198.
- [4] Dutta N., Wilson R., Wilt D. et al. // ATT Techn. J. 1985. V. 64. N 8. P. 1857—1884.
- [5] Fernier B., Bosson P., Jicquel J.-P. et al. // IEE Proc. 1987. V. 134. Pt. 1. N 1. P. 27—34.
- [6] Кугушев А. И., Керимов А. А. // Зарубежн. радиоэлектрон. 1988. № 3. С. 40—51.
- [7] Kakimoto S., Takemoto A., Sakakibara Y. et al. // IEEE J. Quant. Electron. 1988. V. QE-24. N 1. P. 29—35.
- [8] Manning J., Olshansky R., Su C. et al. // Appl. Phys. Lett. 1983. V. 43. N 2. P. 134—135.
- [9] Yamanishi M., Suemune I., Nonomura K. et al. // IEEE J. Quant. Electron. 1983. V. QE-19. N 6. P. 924—929.
- [10] Tokuda Y., Fujiwara K., Tsukada N. et al. // Japan. J. Appl. Phys. 1986. V. 25. Pt. 2. N 11. P. L931—L933.
- [11] Ishikawa H., Yano M., Takugasawa M. // Appl. Phys. Lett. 1982. V. 40. N 7. P. 553—555.
- [12] Лубашевский И. А., Рыжий В. И. // ФТП. 1983. Т. 17. В. 11. С. 2031—2034.
- [13] Дегтяреко Н. Н., Елесин В. Ф. // Письма ЖЭТФ. 1971. Т. 13. В. 8. С. 456—458.
- [14] Лубашевский И. А., Рыжий В. И., Сурис Р. А. // Письма ЖЭТФ. 1982. Т. 8. В. 1. С. 36—38.
- [15] Yamanishi M., Suemune I., Nonomura K., Mikoshiba N. // Japan. J. Appl. Phys. 1982. V. 21. Pt. 2. N 4. P. L240—L242.
- [16] Shah J., Leheny R., Nahory R. et al. // Appl. Phys. Lett. 1980. V. 37. N 5. P. 475—477.
- [17] Shah J., Leheny R., Nahory R. // Appl. Phys. Lett. 1981. V. 39. N 8. P. 618—620.
- [18] Гарбузов Д. З., Чалый В. П., Свелокузов А. Е. и др. // ФТП. 1988. Т. 22. В. 4. С. 657—662.
- [19] Елисеев П. Г. Введение в физику инжекционных лазеров. М., 1983. 294 с.
- [20] Басс Ф. Г., Гуревич Ю. Г. Горячие электроны и сильные электромагнитные волны в плазме полупроводникового и газового разряда. М., 1975. 400 с.
- [21] Кейси Х., Паниш М. Лазеры на гетероструктурах. М., 1981. Т. 1. 299 с. Т. 2. 304 с.
- [22] Kash K., Shah J., Gossard A. et al. // Physica. 1985. V. B134. N 1. P. 189—198.
- [23] Ридли Б. Квантовые процессы в полупроводниках. М., 1986. 304 с.
- [24] Sugimura A. // IEEE J. Quant. Electron. 1981. V. QE-17. N 5. P. 627—635.
- [25] Гельмонт В. Б., Соколова З. Н., Халфин В. Б. // ФТП. 1983. Т. 17. В. 3. С. 453—458.
- [26] Гарбузов Д. З., Агаев В. В., Соколова З. Н. и др. // ФТП. 1984. Т. 18. В. 6. С. 1069—1076.
- [27] Bardyszewski W., Yevick D. // J. Appl. Phys. 1985. V. 58. N 7. P. 2713—2723.
- [28] Пицалко В. Д., Толстыхин В. И. // ФТП. 1988. Т. 22. В. 9. С. 1617—1622.
- [29] Толстыхин В. И. // ФТП. 1986. Т. 20. В. 12. С. 2199—2205.
- [30] Толстыхин В. И. // Микроэлектрон. 1988. Т. 17. В. 3. С. 219—224.
- [31] Пицалко В. Д., Толстыхин В. И. // ФТП. 1988. Т. 22. В. 11. С. 2014—2018.
- [32] Mozer A., Romanek K., Schmid W. et al. // Appl. Phys. Lett. 1982. V. 41. N 10. P. 964—966.
- [33] Wada O., Yamakoshi S., Sakura T. // Appl. Phys. Lett. 1982. V. 41. N 10. P. 981—983.

Физико-технологический институт
АН СССР
Москва

Получена 26.09.1989
Принята к печати 24.10.1989